объясняется частичной компенсацией объемного электронного заряда ионами в области катод — анод.

3. Прессованный губчатый оксидноникелевый катод обладает стойкостью не только к отравлению остаточными газами, но и стойкостью к ионной бомбардировке.

ЛИТЕРАТУРА

1. В. М. Левин, В. В. Румянцев, К. П. Рыбас, Б. Н. Телепаев, Аннотации докладов, представ-

ленных на II Всес. совещ. по ускорителям заряженных частиц, 11 — 18 ноября 1970 года, Москва, ротапринт Радиотехнического института АН СССР.

2. К. П. Рыбас, В. К. Павлов, Б. Н. Телепаев, ПТЭ, 1971, № 2, 33.

3. Л. С. Богданкевич, А. А. Рухадзе, Успехи физ.

наук, 1971, 103, № 4, 609.

НИИ электрофизической аппаратуры, Ленинград. Получено 1.1 Х.1971

УДК 539.121.75

ЭЛЕКТРОННАЯ ЭМИССИЯ ПРИ ПРОХОЖДЕНИИ высокоэнергетичными электронами тонких фольг

В. И. ВИТЬКО, Г. Д. КОВАЛЕНКО, В. А. СТРАТИЕНКО

В работе использовался монитор вторичной эмиссии, позволяющий разделить электроны эмиссии на две группы: третичные $(0 \div 120 \, \mathfrak{se})$ и вторичные $(120 \, \mathfrak{se} \div E_0)$. Исследован вклад этих групп в общий выход электронов для интервала энергий первичных электронов 3 $M\mathfrak{se} \div 1 \, \Gamma\mathfrak{se}$.

Экспериментально обнаружена энергетическая зависимость выхода вторичных

Обсуждаются преимущества монитора, работающего в режиме регистрации вторичных электронов.

Для исследования энергетической зависимости выхода вторичных электронов использовался монитор, схема которого показана на рис. 1. Коллекторы 3 выполнены из сеток с прозрачностью 96%. Эмиттер 4 алюминиевая фольга толщиной 50 мк. Толщина входной фольги 200 мк. На фольгу 1 и сетку 2 подавался потенциал $U_{\mathfrak{d}}$, запирающий электроны, вылетевшие из входной фольги. Величина потенциала $U_{\mathfrak{d}}$ подбиралась экспериментально. В камере монитора поддерживалось давление ~ 10-5 тор.

Ток пучка измерялся цилиндром Фарадея. Сигнал с эмиттера подавался на вход интегратора, работающего в режиме ждущего

блокинг-генератора [1].

На рис. 2 показана эффективность монитора $\sigma = I_{\text{м.в.}, l}/I_{\text{п. Ф.}}$ для энергии первичных электронов $E_0 = 1$ Гэв и экранирующего потенциала $U_9 = 2.5 \ \kappa s$ как функция потенциала U, приложенного к коллектору 3. $(I_{\text{м.в.}.} - \text{ток монитора}, I_{\text{ц.}\Phi} - \text{ток цилиндра}$ Фарадея.)

Зависимость имеет два четко выраженных плато при $U \gg +40$ в (вытягивающий потенциал) и $U \leqslant -40$ в (запирающий потенциал). В случае вытягивающего потенциала регистрируются как вторичные $(E_0 \gg$ $\gg \varepsilon \gg 120$ эв), так и третичные электроны (120 эв $\gg \varepsilon \gg 0$). Вторичные электроны, полученные из первичного акта рассеяния, здесь рассматриваются как источник для

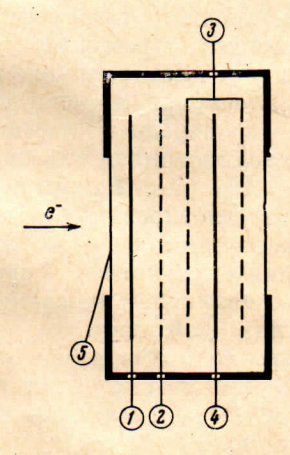


Рис. 1. Схема монитора. 1, 2— экранные пластины, 3 — коллектор, 4 — эмиттер, 5 — входная фольга

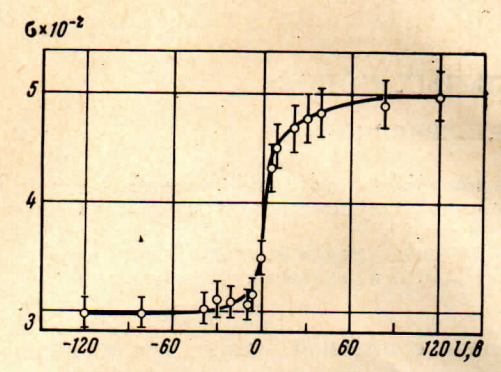
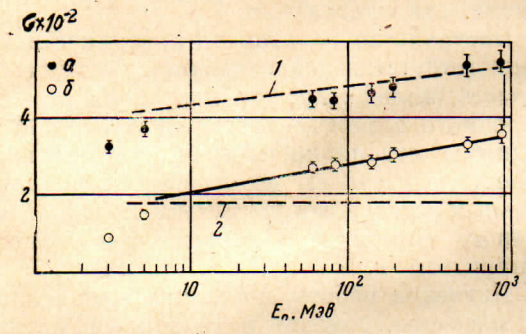


Рис. 2. Эффективность монитора как функция потенциала на коллекторе



 $Puc.\ 3.$ Зависимость эффективности монитора от энергии. 1 — данные [2] для суммарного выхода вторичных и третичных электронов $\sigma=(3,87+0,22\ \ln\ E_0)10^{-2},\ 2$ — данные [2] для выхода вторичных электронов. Результаты данной работы при $a-U=+120\ e$, $b-U=-120\ e$

получения следующего поколения — третичных. В случае запирающего потенциала регистрировались только вторичные электроны.

Эффективность монитора в интервале энергий 3 Мэв : 1 Гэв для запирающего и вытягивающего потенциалов показана на рис. 3. На этом рисунке приведены и теоретические результаты выхода вторичных электронов и суммарного выхода вторичных и третич-

ных электронов на один падающий электрон [2]. Выход вторичных электронов, согласно [2], не зависит от энергии первичной частицы. В нашем случае обнаружена зависимость имеющая вид

$$\sigma = (1.35 + 0.31 \ln E_0) 10^{-2}$$

где E_0 , $M \ni 6$ — энергия первичного электро-

Результаты суммарного выхода вторичных и третичных электронов в пределах среднеквадратичных экспериментальных ошибок совпадают.

Для энергии $3 \div 5$ Мэв сказывается поглощение во входной фольге, и эффективность монитора резко падает.

Монитор, работающий в режиме регистрации вторичных электронов, имеет преимущество по сравнению с монитором, работающим в режиме регистрации вторичных и третичных электронов. Оно выражается в стабильности коэффициента эмиссии, обусловленной отсутствием третичных электронов, выход которых зависит от состояния поверхности [3].

В заключение авторы считают приятным долгом выразить благодарность обслуживающему персоналу ускорителей ЛУ-40, ЛУ-360 и ЛУ-2000 за обеспечение стабильных параметров электронных пучков.

ЛИТЕРАТУРА

- О. Б. Демьяновский, Е. М. Лейкин, К. И. Яблонский, ПТЭ, 1963, № 3, 82.
 V. J. Vanhurse, R. E. Van de Vijer, Nucl. Instrum. and Methods, 1962, 15, № 1, 63.
 V. J. Vanhurse, E. D. Wattecamps, R. E. Van de Vijer and al., Nucl. Instrum. and Methods, 1962, 15, № 1, 59.

Физико-технический институт АН УССР, Харьков. Получено 27.VIII.1971